

УДК 541.14

## ИССЛЕДОВАНИЕ КИНЕТИЧЕСКИХ ЗАКОНОМЕРНОСТЕЙ ОБРАЗОВАНИЯ ПРОДУКТОВ В ПРОЦЕССЕ ФОТОЛИЗА АЗИДА СВИНЦА

Э.П. Суровой, Л.Н. Бугерко, С.В. Расматова

Кемеровский государственный университет

E-mail: epsur@kemsu.ru

Методами масс-спектрометрии, спектрофотометрии и электронной микроскопии установлено, что предварительное облучение азид свинца светом ( $\lambda=365$  нм,  $I=2 \cdot 10^5$  квант·см<sup>-2</sup>·с<sup>-1</sup>) при давлении  $1 \cdot 10^{-5}$  Па наряду с увеличением скорости фотолиза и фототока приводит к появлению новой длинноволновой (до  $\lambda=600$  нм) области спектральной чувствительности. Определены константы скорости фотолиза азид свинца. В результате измерений контактной разности потенциалов, вольт-амперных характеристик, фото-ЭДС, фототока установлено, что при фотолизе азид свинца формируются микрогетерогенные системы  $PbN_6(Am) - Pb$  (продукт фотолиза). Показано, что лимитирующей стадией образования фотолитического свинца является диффузия анионных вакансий к нейтральному центру  $Pb_0^0$ .

Ранее [1–5] было установлено, что выделяющиеся при разложении твердофазные продукты оказывают существенное влияние на фотохимические и фотоэлектрические свойства азидов тяжелых металлов. Исследование автокаталитического и сенсибилизирующего влияния твердофазных продуктов на фотолиз азидов серебра и таллия [6–9], а также параллельное изучение фотолиза и электрофизических свойств гетеросистем азид-металл (азид-полупроводник) [10–17] позволили существенно продвинуться в направлении понимания механизма фотолиза неорганических азидов при глубоких степенях превращения. В настоящем сообщении представлены результаты работы, направленной на исследование кинетических и спектральных закономерностей образования продуктов в процессе фотолиза азид свинца в зависимости от интенсивности падающего света, выяснение энергетической структуры контакта азид свинца – продукт фотолиза и причин, вызывающих наблюдаемые изменения фотохимической и фотоэлектрической чувствительности азид свинца продуктом разложения.

### Объекты и методы исследования

Азид свинца марки Ам ( $PbN_6(Am)$ ) синтезировали методом двухструйной кристаллизации, медленным (в течение 60 мин.) сливанием "струя в струю" водных 0,2 н растворов дважды перекристаллизованного технического азид натрия и нитрата свинца (квалификации х.ч.) при рН 3 и  $T=293$  К [18]. Образцы для исследований готовили прессованием таблеток  $PbN_6(Am)$  массой 150 мг при давлении  $1 \cdot 10^{-3}$  кг·см<sup>-2</sup>, либо путем нанесения 150 мг навесок  $PbN_6(Am)$  на кварцевую пластинку в виде спиртовой суспензии, с последующей отгонкой спирта в вакууме. Измерения скорости фотолиза ( $V_f$ ), фототока ( $i_f$ ) и фото-ЭДС ( $U_f$ ) образцов проводили при давлении  $1 \cdot 10^{-5}$  Па. Источниками света служили ртутная (ДРТ-250) и ксеноновая (ДКсШ-1000) лампы. Для выделения требуемого участка спектра применяли монохроматор МСД-1 и набор светофильтров. Актинометрию источников света проводили с помощью радиационного термоэлемента РТ-0589. В качестве датчика при измерении  $V_f$  ис-

пользовали лампу РМО-4С омегатронного масс-спектрометра ИПДО-1, настроенного на частоту регистрации азота (рис. 1). Измерения  $i_f$  и  $U_f$  проводили на установке, включающей электрометрический вольтметр В7-30, либо электрометр TR-1501 [15]. Спектры диффузного отражения (ДО) измеряли при давлении 101,3 кПа на спектрофотометре SPECORD-M40 с приставкой на отражение 8°d и при давлении  $1 \cdot 10^{-4}$  Па [16]. Контактную разность потенциалов (КРП) между азидом свинца, свинцом и электродом сравнения из платины измеряли, используя модифицированный метод Кельвина [19]. Топографию твердофазных продуктов фотолиза азид свинца изучали методом угольных реплик на электронном микроскопе УЭМБ-1000.

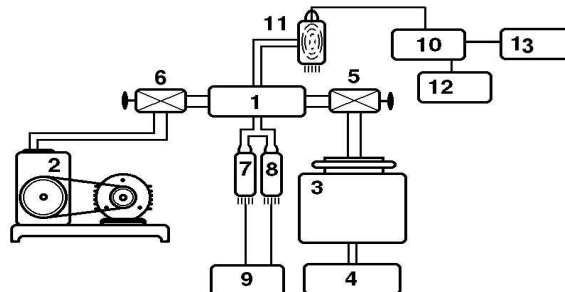


Рис. 1. Схема установки для изучения фотохимической чувствительности твердых неорганических солей: 1) ячейка, 2) насос ВН-461М, 3) насос НОРД-250, 4) блок питания насоса, 5) вентиль ДУ-24, 6) вентиль ДУ-6, 7) манометр термодатный ПМТ-2, 8) манометр ионизационный ПМИ-2, 9) вакуумметр ВИТ-1П, 10) масс-спектрометр ИПДО-1, 11) датчик РМО-4С, 12) потенциометр ЭПП-09, 13) частотомер ЧЗ-12

### Результаты и обсуждение

В результате анализа кинетических закономерностей фотолиза  $PbN_6(Am)$  было установлено, что при облучении образцов светом  $\lambda=365$  нм в области интенсивного освещения ( $I>1 \cdot 10^{14}$  квант·см<sup>-2</sup>·с<sup>-1</sup>) на кинетических кривых  $V_f$  можно выделить несколько участков: начальный (I), стационарный (II), возрастания (III), насыщения – (IV) и спадающего (V) (рис. 2, кривая 1). Снижение интенсивности падающего света приводит к уменьшению  $V_f$ , а также к

увеличению продолжительности участков кинетических кривых. На рис. 3 (кривые 1,2) приведены спектральные распределения  $V_\phi$  и  $i_\phi$ , построенные по стационарным значениям  $V_\phi$  и  $i_\phi$ . Видно, что длинноволновый край  $V_\phi$  и  $i_\phi$   $\text{PbN}_6(\text{Am})$  находится при 420 нм. Различные виды предварительных обработок, которые приводят к частичному разложению азид свинца (прогрев в вакууме  $1 \cdot 10^{-5}$  Па в интервале температур 340...420 К, облучение светом, старение образцов, обработка в восстановительной среде), уменьшают или полностью устраняют начальный максимум (участок I) на кинетических кривых  $V_\phi$ . Повторное (после прерывания света на I и II участках) освещение образцов не приводит к заметному изменению  $V_\phi$  на II, III, IV участках кинетических кривых  $V_\phi$  (рис. 2, кривые 2, 3) и кривых спектрального распределения  $V_\phi$  и  $i_\phi$ . Предварительное экспонирование образцов в течение 10 мин приводит к монотонному увеличению  $V_\phi$  до постоянных значений (рис. 2, кривая 4). При этом наряду с увеличением  $V_\phi$  и  $i_\phi$  в собственной области поглощения  $\text{PbN}_6(\text{Am})$  на кривых спектрального распределения  $V_\phi$  и  $i_\phi$ , появляется новая область фоточувствительности, длинноволновый порог которой простирается до 600 нм (рис. 3 кривые 3, 4).

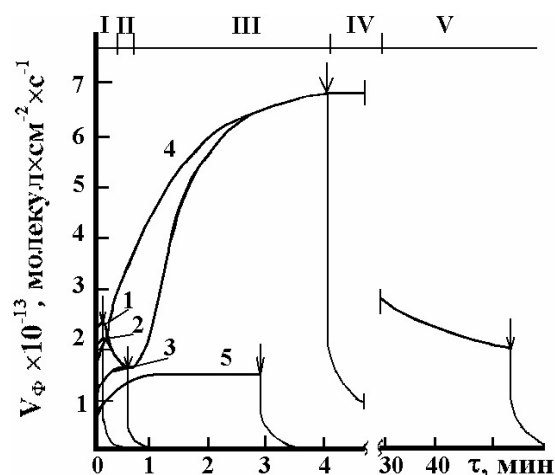


Рис. 2. Кинетические кривые скорости фотолиза ( $V_\phi$ )  $\text{PbN}_6(\text{Am})$  при  $\lambda=365$  нм и интенсивности падающего света  $2 \cdot 10^5$  квант  $\cdot \text{см}^{-2} \cdot \text{с}^{-1}$  до (1) и после прерывания освещения на I (2), II (3), IV (4) и V (5) участках кинетических кривых  $V_\phi$ . Стрелками обозначены моменты выключения света

Более продолжительное освещение образцов приводит к снижению  $V_\phi$ . В результате электронно-микроскопических и спектрофотометрических исследований было установлено, что наблюдаемое понижение фоточувствительности  $\text{PbN}_6(\text{Am})$  связано с затемнением поверхности образца твердофазным продуктом фотолиза и, как следствие, с уменьшением числа поглощенных  $\text{PbN}_6(\text{Am})$  квантов света. После прекращения экспонирования на разных участках кинетических кривых скорости фотолиза наблюдается участок темнового постгазовыделения (рис. 2). Видно, что кривые темнового постгазовыделения состоят из двух участков "быстрого" и "медленного". С увеличением време-

ни экспонирования и интенсивности падающего света продолжительность темнового постгазовыделения возрастает. Причем, по мере понижения температуры и интенсивности падающего света уменьшается временной интервал "медленной" составляющей темнового постгазовыделения. Установлено, что независимо от интенсивности падающего света и времени предварительного экспонирования кривые темнового постгазовыделения спрямляются в координатах  $\ln C_{N_2} = (\tau)$ . По тангенсу угла наклона зависимости  $\ln C_{N_2} = (\tau)$  оценили значения констант скорости ( $k$ ) после прерывания освещения на разных участках кинетических кривых  $V_\phi$  (табл. 1).

Таблица 1. Константы скорости процесса, ответственного за постгазовыделение  $k$ ,  $\text{с}^{-1}$

| Образец                   | Участки кинетической кривой $V_\phi$ |                                 |                                 |
|---------------------------|--------------------------------------|---------------------------------|---------------------------------|
|                           | I                                    | II                              | IV                              |
| $\text{PbN}_6(\text{Am})$ | $4,32 \pm 0,16 \cdot 10^{-2}$        | $(3,10 \pm 0,15) \cdot 10^{-2}$ | $(2,40 \pm 0,12) \cdot 10^{-3}$ |

При исследовании топографии твердофазного продукта фотолиза азид свинца, установлено, что при интенсивностях  $I=4 \cdot 10^{14} \dots 8 \cdot 10^{15}$  квант  $\cdot \text{см}^{-2} \cdot \text{с}^{-1}$  и временах облучения образцов, соответствующих достижению участков I и II кинетической кривой  $V_\phi$  формируются частицы преимущественно размером 4...6 нм сферической формы.

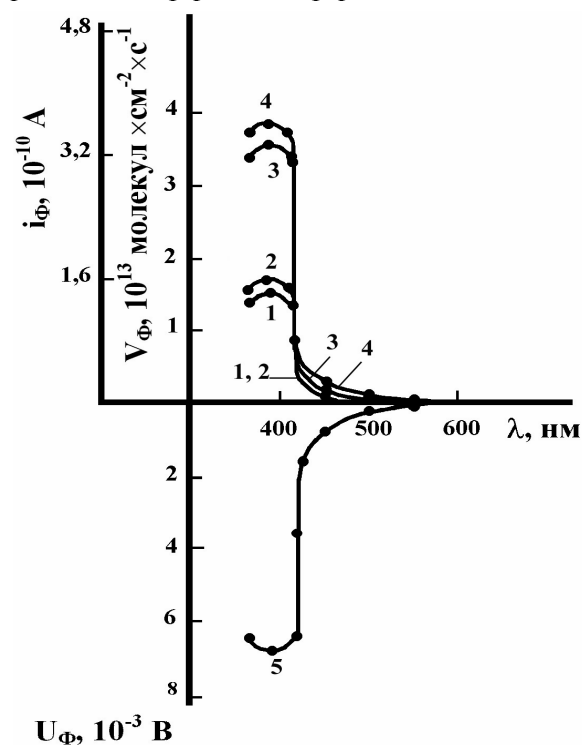
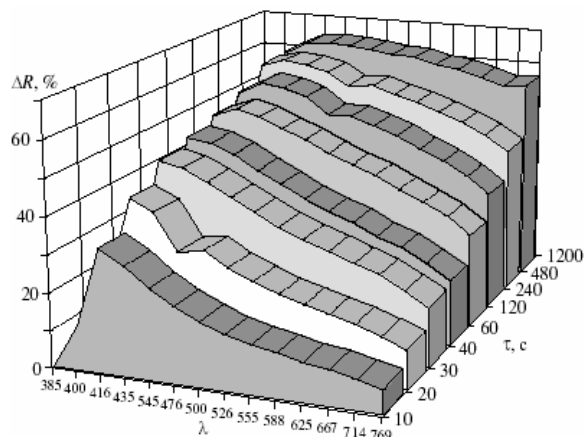


Рис. 3. Спектральное распределение скорости фотолиза (1, 3), фототока (2, 4) и фото-ЭДС ( $U_\phi$ ) (5) до (1, 2) и после облучения  $\text{PbN}_6(\text{Am})$  (3-5) при  $I=2 \cdot 10^5$  квант  $\cdot \text{см}^{-2} \cdot \text{с}^{-1}$

Количество и размер частиц увеличиваются по мере роста интенсивности падающего света и времени экспонирования. Длинноволновый край ДО азид свинца находится при  $\lambda=410$  нм (рис. 4). Об-

работка образцов светом  $\lambda=365$  нм в интервале интенсивностей  $I=4 \cdot 10^{14} \dots 8 \cdot 10^{15}$  квант·см<sup>-2</sup>·с<sup>-1</sup>, наряду с отсутствием заметных эффектов в собственной области поглощения азида свинца, приводит к существенному изменению вида спектральных кривых ДО в области  $\lambda \geq 410$  нм.



**Рис. 4.** Изменение отражательной способности азида свинца в зависимости от времени облучения светом  $\lambda=380$  нм при  $I = 3 \cdot 10^{15}$  квант·см<sup>-2</sup>·с<sup>-1</sup>

При временах облучения, соответствующих реализации I и II участков на кинетических кривых  $V_\phi$ , наряду с уменьшением ДО в диапазоне 400...800 нм на спектральных кривых ДО, проявляется максимум при  $\lambda \approx 440$  нм. Дальнейшее увеличение времени световой обработки до участка (III) приводит к уширению полосы и смещению максимума в длинноволновую область спектра. Установлено совпадение кинетических зависимостей изменения количества фотолитического металла ( $C_{Me}$ ), рассчитанных по результатам измерений кинетических кривых  $V_\phi$  при различных интенсивностях падающего света, со значениями площадей ( $S$ ), соответствующих изменению ДО  $PbN_6(Am)$  в процессе облучения. В табл. 2 приведены константы скорости фотолиза  $PbN_6(Am)$  оценённые по тангенсу угла наклона зависимостей  $\ln S = (\tau)$  и  $\ln C_{Me} = (\tau)$ .

**Таблица 2.** Константы скорости фотолиза  $PbN_6(Am)$ , рассчитанные по кинетическим кривым скорости фотолиза ( $k_{\phi}$ ) и спектрам диффузного отражения ( $k_{до}$ )

| $I \cdot 10^{15}$ , квант·см <sup>-2</sup> ·с <sup>-1</sup> | $k_{\phi} \times 10^2$ , с <sup>-1</sup> | $k_{до} \times 10^2$ , с <sup>-1</sup> |
|---|--|--|
| 600   | $1,56 \pm 0,12$                          | $1,36 \pm 0,10$                        |
| 18  | $2,00 \pm 0,15$                          | $1,90 \pm 0,15$                        |
| 50  | $2,30 \pm 0,20$                          | $2,10 \pm 0,20$                        |
| 1,4   | $5,50 \pm 0,35$                          | $5,40 \pm 0,40$                        |
| 2,0   | $5,70 \pm 0,40$                          | $5,60 \pm 0,45$                        |

Полученные в настоящей работе и ранее [15–18] данные свидетельствуют, прежде всего, о том, что основными продуктами фотолиза  $PbN_6(Am)$  в условиях высокого вакуума являются металлический свинец и газообразный азот. Причем, продукты фотолиза  $PbN_6(Am)$  образуются в стехиометрическом соотношении и, в основном, на поверхности образцов, а наблюдаемые в резуль-

тате облучения изменения на спектральных кривых ДО  $PbN_6(Am)$  (рис. 4) кинетических кривых и кривых спектрального распределения  $V_\phi$  и  $i_\phi$  обусловлены образованием частиц свинца (преимущественно со средним диаметром  $\approx 4$  нм).

Для выяснения механизма влияния свинца на фотолиз азида свинца были измерены вольтамперные характеристики (ВАХ),  $U_\phi$  гетеросистем  $PbN_6(Am) - Pb$  (продукт фотолиза) и КРП.

**Таблица 3.** Контактная разность потенциалов между азидом свинца, свинцом и относительным электродом из платины

| Образец     | КРП, В         |                   |                    |                     |
|-------------|----------------|-------------------|--------------------|---------------------|
|             | Давление, Па   |                   |                    |                     |
|             | $1 \cdot 10^5$ | $1 \cdot 10^{-5}$ | $1 \cdot 10^{-5*}$ | $1 \cdot 10^{-5**}$ |
| $PbN_6(Am)$ | +0,28          | +0,46             | +1,21              | +0,56               |
| Pb          | +0,58          | +0,59             | +0,59              | –                   |

\*После предварительной тепловой обработки при  $T=350$  К в течение 90 мин.

\*\* После предварительного фотолиза при  $\lambda=365$  нм,  $I=2 \cdot 10^{15}$  квант·см<sup>-2</sup>·с<sup>-1</sup>

Из табл. 3 видно, что фотолиз  $PbN_6(Am)$  приводит к уменьшению значений КРП, причем значения КРП для образцов, подвергнутых фотолизу, удовлетворительно совпадают с измеренными для искусственно нанесенного свинца [19]. Из анализа ВАХ и результатов измерений КРП было установлено, что в области контакта  $PbN_6(Am) - Pb$  (из-за несоответствия между работами из контактирующих партнеров) возникает антизапорный электрический слой-контакт  $PbN_6(Am) - Pb$  не проявляет выпрямляющих свойств. Из рис. 3 видно, что поляриность  $U_\phi$ , оставаясь неизменной по всему спектру, соответствует отрицательному знаку со стороны азида свинца, а кривые спектрального распределения  $U_\phi$ ,  $V_\phi$ ,  $i_\phi$  коррелируют друг с другом. Генерация  $U_\phi$  прямо свидетельствует о формировании в процессе фотолиза  $PbN_6(Am)$  микрогетерогенных систем  $PbN_6(Am) - Pb$ , темновые и фотопроцессы на границе раздела которых, по-видимому, обеспечивают увеличение  $V_\phi$  и  $i_\phi$  в собственной области поглощения азида свинца (рис. 2, 3), а также появление новых длинноволновых областей фоточувствительности (рис. 3).

Фотохимические проявления фотоэлектрических процессов в таких системах могут быть вызваны перераспределением под действием контактного поля генерированных светом носителей заряда [6–9, 15–18]. Эти процессы приведут к существенным изменениям условий протекания фотолиза у предварительно фоторазложенных препаратов азида свинца по сравнению с фотораспадом свежеприготовленных. На рис. 5 приведена диаграмма энергетических зон контакта  $PbN_6(Am) - Pb$ , при построении которой использованы результаты измерений КРП, ВАХ, данные по спектральному распределению  $U_\phi$ ,  $V_\phi$  и  $i_\phi$ , а также результаты измерений внешнего фотоэффекта [20].

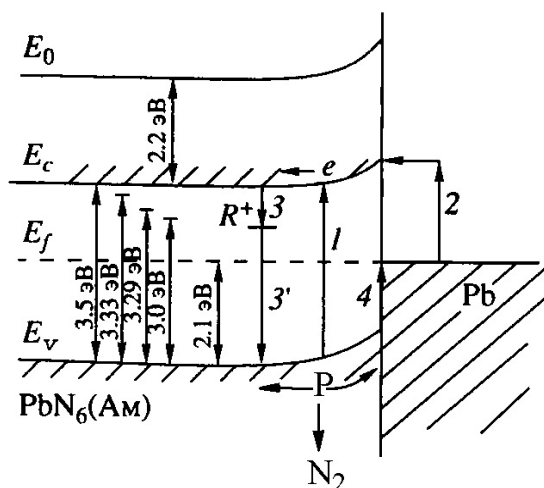
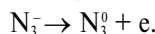


Рис. 5. Диаграмма энергетических зон гетеросистемы  $\text{PbN}_6(\text{Am}) - \text{Pb}$

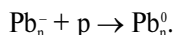
При воздействии света из области собственного поглощения азид свинца имеет место интенсивная генерация электрон-дырочных пар в азиде свинца (рис. 5, переход 1)



Так как квантовый выход фотолиза, оцененный по начальному участку кинетической кривой  $V_\phi$ , составляет 0,002...0,01, то часть фотоиндуцируемых носителей заряда рекомбинирует (рис. 5, переходы 3)



где  $\text{T}^+$  – центр рекомбинации, а также перераспределяются в контактное поле с переходом неравновесных дырок из валентной зоны азид свинца в свинец



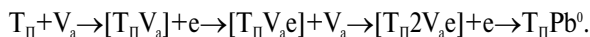
При этом формируется  $U_\phi$  отрицательного знака со стороны азид свинца (рис. 3), которая может способствовать дальнейшему увеличению размеров частиц

$\text{Pb}_n^0 + \text{V}_a[\text{Pb}_n^0\text{V}_a] + e \rightarrow [\text{Pb}_n^0\text{V}_a] + \text{V}_a \rightarrow [\text{Pb}_n^0 2\text{V}_a] + e \rightarrow \text{Pb}_{n+1}^0$ , где  $\text{V}_a$  – анионная вакансия (азид свинца разупорядочен по Шоттки [21]).

Кроме того, согласно диаграмме энергетических зон (рис. 5) электроны будут выталкиваться полем КРП за пределы области пространственного заряда азид свинца, где могут принимать участие в образовании, росте и дальнейшем размножении частиц свинца. Формирование частиц фотолитического свинца, по нашему мнению [15, 17, 18], происходит с участием собственных поверхностных состояний ( $T_\Pi$  [18, 19])

#### СПИСОК ЛИТЕРАТУРЫ

1. Янг Д. Кинетика разложения твердых веществ. – М.: Мир, 1969. – 263 с.
2. Evans B.L., Yoffe A.D. Structure and stability of inorganic azides. II. Some physical and optical properties and the fast decomposition of solid monovalent inorganic azides // Proc. Roy. Soc. – 1959. – V. A250. – P. 364–366.



По мере увеличения размера и числа частиц фотолитического свинца будет возрастать число дырок в области пространственного заряда азид свинца. Результирующее увеличение концентрации дырок приведет к возрастанию  $i_\phi$ , а также  $V_\phi$  по принимаемым для фотолиза азид свинца реакциям – участок III (рис. 2)



где  $\text{V}_a^+$  и  $\text{V}_k^-$  – анионная и катионная вакансии соответственно.

При воздействии на гетеросистемы  $\text{PbN}_6(\text{Am}) - \text{Pb}$  света из длинноволновой области спектра имеет место фотоэмиссия электронов из свинца в зону проводимости азид свинца (рис. 5, переход 2), что приводит к появлению  $U_\phi$ ,  $V_\phi$  и  $i_\phi$  у предварительно фоторазложенных препаратов в длинноволновой области спектра. Обнаруженные закономерности изменения фотолитическим свинцом фоточувствительности азид свинца в длинноволновой области спектра согласуются с изложенным. Действительно, формируется  $U_\phi$  отрицательного знака со стороны азид свинца (рис. 3), энергетическое положение длинноволнового порога  $U_\phi$ ,  $V_\phi$  и  $i_\phi$  для гетеросистем  $\text{PbN}_6(\text{Am}) - \text{Pb}$  удовлетворительно совпадает с величиной энергетического барьера для перехода электронов из металла в зону проводимости азид свинца (рис. 5, переход 2), а энергия активации фотолиза гетеросистем  $\text{PbN}_6(\text{Am}) - \text{Pb}$  ( $E_a \approx 1,2$  эВ) отличается от энергии активации фотолиза  $\text{PbN}_6(\text{Am})$  ( $E_a \approx 0,48$  эВ) на величину энергетического порога для перехода электрона из валентной зоны в металл ( $E_a \approx 0,65$  эВ) (рис. 5, переход 4).

Для определения лимитирующей стадии процесса роста частиц фотолитического свинца оценили время, в течение которого подвижная анионная вакансия нейтрализует электрон или диффундирует к нейтральному центру.

Время релаксации при диффузионном протекании процесса может быть оценено как [22]

$$\tau_d = e^2 / \sigma k_b a T,$$

где  $e$  – заряд электрона;  $a$  – постоянная решетки ( $a_{\text{PbN}_6} = 8 \cdot 10^{-10}$  см);  $T = 293$  К,  $k_b$  – постоянная Больцмана. При  $T = 293$  К  $\tau_d = 80$  с. Константа скорости фотолиза ( $k^{II}$ ) при этом составляет  $k^{II} \approx 1,25 \cdot 10^{-2} \text{ с}^{-1}$ .

Удовлетворительное совпадение констант скорости фотолиза (табл. 2) с  $k^{II}$  дает основание полагать, что лимитирующей стадией процесса фотолиза  $\text{PbN}_6(\text{Am})$  является диффузия анионных вакансий к нейтральному центру.

3. Deb S.K. Optical absorption spectra of azides // Trans. Farad. Soc. – 1969. – V. 65. – P. 3187–3194.
4. Verneker V.R.P. Photodecomposition of Solid Metal Azides // J. Phys. Chem. – 1968. – V. 72. – № 5. – P. 1733–1736.
5. Савельев Г.Г., Гаврищенко Ю.В., Захаров Ю.А. Фото-ЭДС в азид свинца и серебра // Известия вузов. Физика. – 1968. – № 7. – С. 2–4.

6. Суrowой Э.П., Сирик С.М., Бугерко Л.Н. Катализ фоторазложения азидов серебра продуктами реакции // Химическая физика. — 1999. — Т. 18. — № 2. — С. 44–46.
7. Суrowой Э.П., Захаров Ю.А., Бугерко Л.Н., Шурыгина Л.И. Автокатализ фотолиза азидов таллия // Химия высоких энергий. — 1999. — Т. 33. — № 5. — С. 387–390.
8. Суrowой Э.П., Шурыгина Л.И., Бугерко Л.Н. Закономерности формирования микрогетерогенных систем при фотолизе азидов таллия // Химическая физика. — 2003. — Т. 22. — № 9. — С. 24–28.
9. Суrowой Э.П., Сирик С.М., Бугерко Л.Н. Закономерности образования твердофазного продукта фотолиза азидов серебра // Химическая физика. — 2000. — Т. 19. — № 10. — С. 68–71.
10. Власов А.П., Суrowой Э.П. Фотоэлектрическая чувствительность гетеросистем азидов таллия — алюминий в поле излучения // Журнал физической химии. — 1991. — Т. 65. — № 6. — С. 1465–1469.
11. Суrowой Э.П., Сирик С.М., Бугерко Л.Н. Кинетика фотолиза гетеросистем азидов серебра с теллуридом кадмия и оксидом меди // Журнал физической химии. — 2000. — Т. 74. — № 5. — С. 927–933.
12. Суrowой Э.П., Сирик С.М., Бугерко Л.Н. Фотолиз гетеросистем  $\text{AgN}_3$  — металл // Химическая физика. — 2000. — Т. 19. — № 8. — С. 22–25.
13. Суrowой Э.П., Шурыгина Л.И., Бугерко Л.Н. Фотолиз гетеросистем азидов таллия — металл // Химическая физика. — 2001. — Т. 20. — № 12. — С. 15–22.
14. Суrowой Э.П., Бугерко Л.Н. Термостимулированное газовыделение из систем азидов серебра металл // Химическая физика. — 2002. — Т. 21. — № 7. — С. 74–78.
15. Суrowой Э.П., Бугерко Л.Н., Захаров Ю.А., Расматова С.В. Закономерности формирования твердофазного продукта фотолиза гетеросистем азидов свинца — металл // Материаловедение. — 2002. — № 9. — С. 27–33.
16. Суrowой Э.П., Сирик С.М., Захаров Ю.А., Бугерко Л.Н. Фотолиз гетеросистем азидов серебра — оксид меди (I) // Журн. науч. и прикл. фотографии. — 2002. — Т. 47. — № 5. — С. 19–27.
17. Суrowой Э.П., Бугерко Л.Н., Расматова С.В. Исследование закономерностей формирования продуктов фотолиза гетеросистем азидов свинца — оксид меди (I) // Материаловедение. — 2003. — № 7. — С. 18–24.
18. Суrowой Э.П., Бугерко Л.Н., Расматова С.В. Фотолиз систем "азид свинца — теллурид кадмия" // Известия Томского политехнического университета. — 2004. — Т. 307. — № 4. — С. 85–88.
19. Суrowой Э.П., Захаров Ю.А., Бугерко Л.Н. Определение работы выхода электрона из азидов свинца серебра и таллия // Неорганические материалы. — 1996. — Т. 32. — № 2. — С. 162–164.
20. Колесников Л.В. Спектры энергетических состояний и некоторые особенности реакций разложения азидов тяжелых металлов: Автореф. дис. ... канд. хим. наук. — Минск, БГУ, 1978. — 21 с.
21. Захаров Ю.А., Савельев Г.Г., Шечков Г.Т. Влияние добавок  $\text{Cu}^{2+}$  и  $\text{Ag}^+$  на термическое разложение, электропроводность и фотопроводимость азидов свинца // Известия вузов. Химия и хим. технология. — 1967. — Т. 1. — № 11. — С. 1191–1194.
22. Мейкляр П.В. Физические процессы при образовании скрытого фотографического изображения. — М.: Наука, 1972. — 399 с.